



**Akademia Górnictwo-Hutnicza
im. Stanisława Staszica w Krakowie**

Raport z projektu

**Układ do pomiaru natężenia prądu poniżej
jednego LSB przetwornika A/C**

z przedmiotu

**Analogowe układy peryferyjne w
systemach cyfrowych**

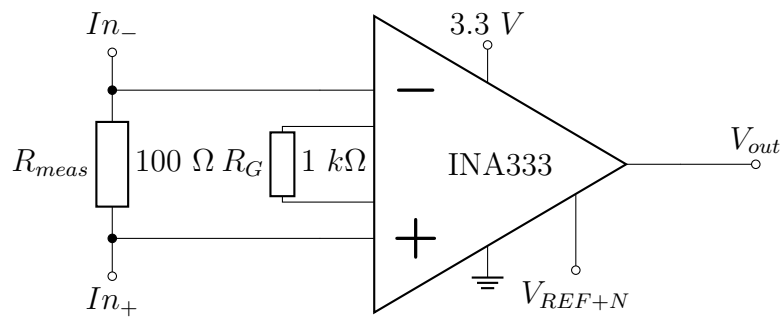
Elektronika i telekomunikacja - Systemy wbudowane, rok II studiów magisterskich

Piotr Kowol, Piotr Masurek, Michał Nizioł

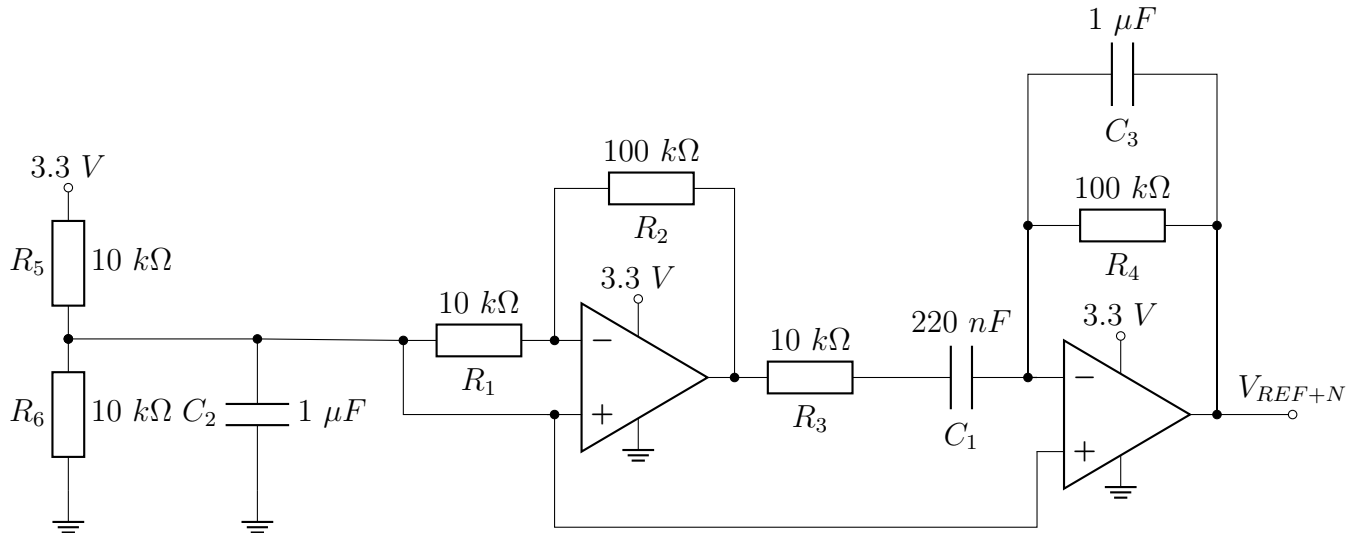
18 lutego 2026

1. Schematy ideowe układu

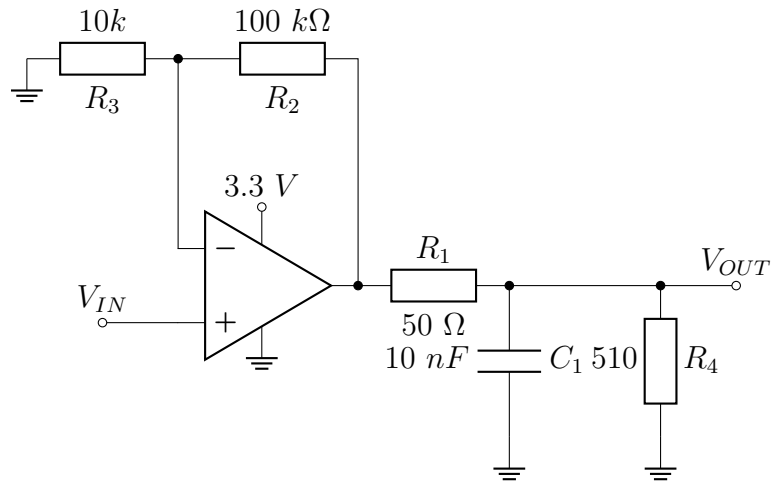
Poniżej przedstawiono schematy części analogowej układu. Podczas pomiarów okazało się, że szum INA333 jest znacznie większy od szumu generowanego przez generator szumu. W związku z tym, zredukowano szum generowany przez generator szumu oraz zmniejszono wzmacnienie INA333 z $K_u = 10000 \frac{V}{V}$ do $K_u = 100 \frac{V}{V}$. Modyfikacja wiązała się z wlutowaniem kondensatora o wartości $1 \mu F$ w sprzążenie zwrotne wyjściowego wzmacniacza generatora szumu, co dało obcięcie pasma do około $100 Hz$, oraz zmiana rezystora ustalającego wzmacnianie z 10Ω do $1 k\Omega$. Wprowadzone modyfikacje pozwoliły zmniejszyć szum do około $1 \div 2$ LSB. Schemat wzmacniacza pomiarowego przedstawiono na rysunku 1.1, a generatora szumu na rysunku 1.2. Wyjście INA333 podłączeno do filtra anty-aliasing'owego, który został przedstawiony na rysunku 1.3. Rezystor R_4 zgodnie z dokumentacją zastosowanego wzmacniacza pozwala zmniejszyć wpływ obciążenia pojemnościowego na wzmacniacz, ale wprowadza tłumienie sygnału, dlatego zamiast wtórnika zastosowano wzmacniacz w konfiguracji nieodwracającej o niewielkim wzmacnieniu. Parametry robocze układu przedstawiono w tabeli 1.1.



Rysunek 1.1: Schemat ideowy wzmacniacza pomiarowego.



Rysunek 1.2: Schemat ideowy źródła napięcia referencyjnego z układem generacji szumu.



Rysunek 1.3: Schemat pasywnego filtra RC o częstotliwości granicznej $f_g \approx 318 \text{ kHz}$.

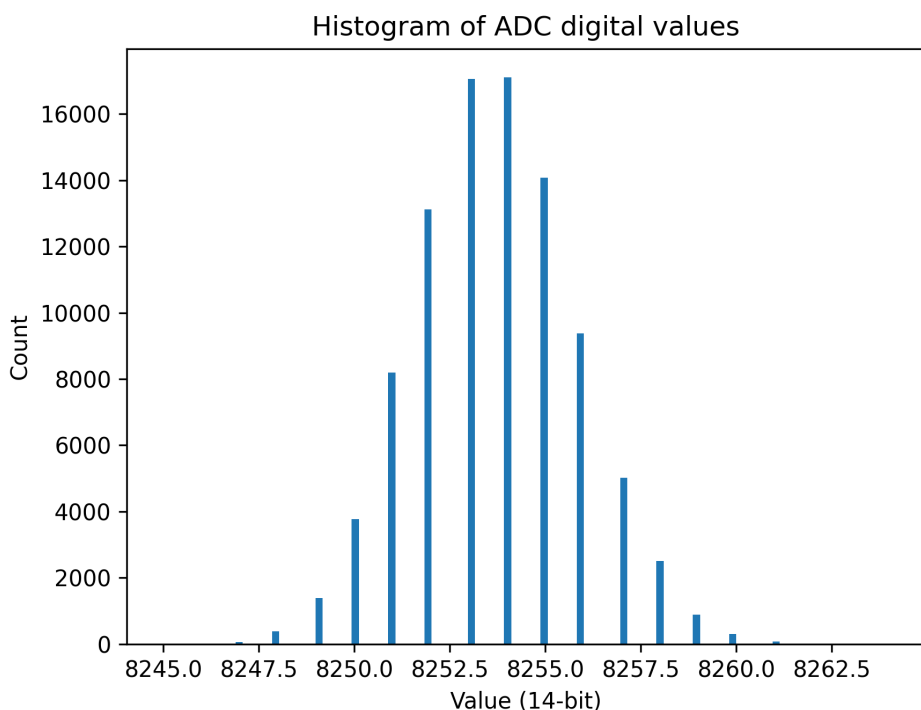
parametr	wartość	komentarz
czułość	$10 \frac{mV}{\mu A}$	czułość układu bez ditheringu
zakres pomiarowy	$\pm 100 \mu A$	-
zakres napięcia wspólnego	$0.7 \div 2.8 \text{ V}$	-
częstotliwość graniczna	30 Hz	ograniczenie od INA333
pasmo szumu białego	$100 \text{ Hz} \div 300 \text{ kHz}$	
napięcie szumu	$\approx 1.5 \text{ mV}$	w paśmie $100 \text{ Hz} \div 300 \text{ kHz}$
częstotliwość próbkowania	$f_S = 300 \text{ kHz}$	z dokumentacji STM32F103C8T6
częstotliwość nadpróbkowania	$f_{OVS} = 18.75 \text{ kHz}$	nadpróbkowanie 16 razy
dodatkowe bity	+2 bity	na podstawie AN5537
teoretyczna wartość mierzalnego prądu przy ditheringu	$I_{meas} \approx 25 \text{ nA}$	jeśli nie tracimy na ENOB

Tabela 1.1: Parametry zaprojektowanego układu do pomiaru prądu.

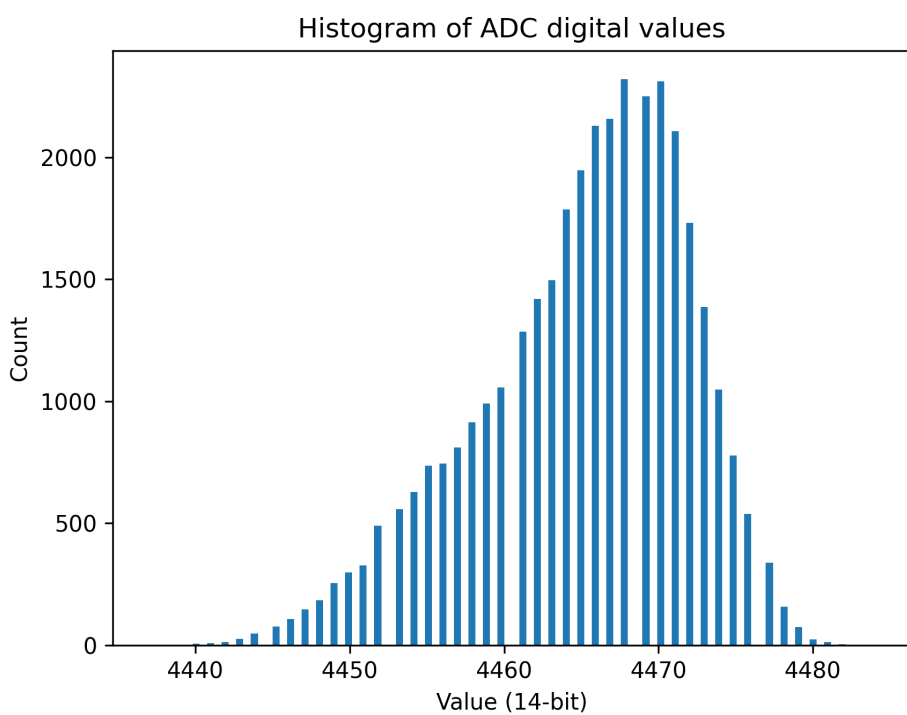
2. Pomiary

Podczas pomiarów wystąpiły problemy z rozkładem prawdopodobieństwa szumu - była wiadoczną asymetrią powodowaną przez układ zasilania - LDO. Asymetria była zależna od natężenia i polaryzacji prądu. Rozwiążaniem było zastosowanie zasilacza laboratoryjnego - szum był Gaussowski, do puki zasilacz się nie nagrał - potem rozkład nieco się znieksztalciał, ale znacznie mniej niż w przypadku LDO. Rozkłady prawdopodobieństwa dla kilku pomiarów przedstawiono na rysunkach 2.1 - 2.5. Przebiegi czasowe dla wybranych pomiarów przedstawiono na rysunkach 2.6 - 2.7. Dodatkowa filtracja pozwala uzyskać dokładniejsze wyniki, co zostało przedstawione na rysunku 2.8. Dodatkowym utrudnieniem w przeprowadzaniu pomiarów było występowanie zewnętrznych zakłóceń, co powodowało chwilowe zmiany napięcia wejściowego przetwornika ADC, oraz wprowadzało znieksztalcenie w histogramie.

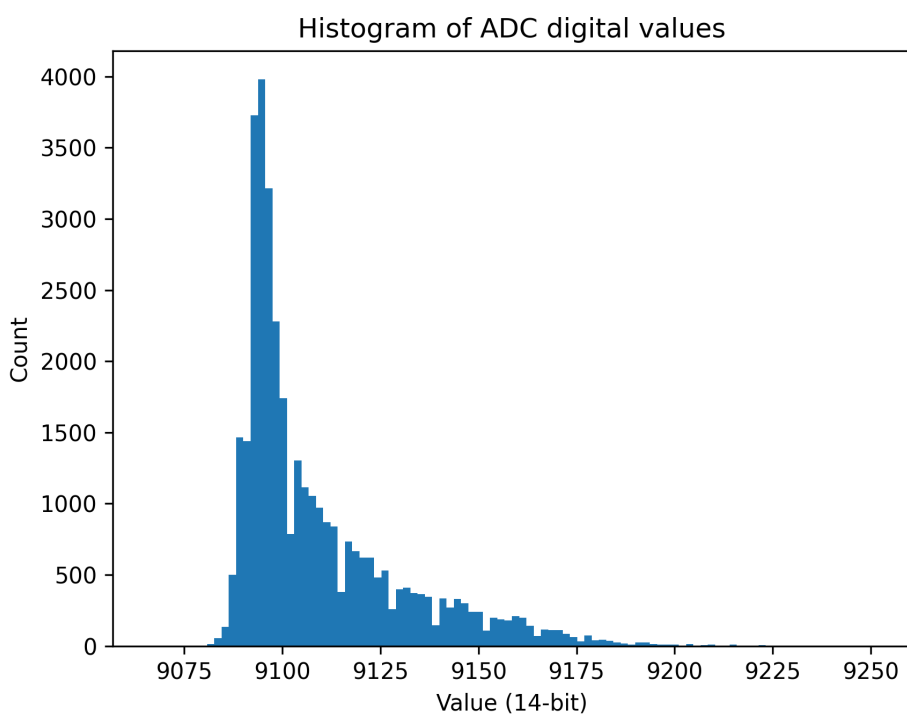
Zastosowany algorytm oblicza sumę 16 próbek, a następnie dzieli wynik przez 4, co pozwala zapisać wynik na 14 bitach zamiast 12. Tak przygotowane dane są przesyłane do komputera przez UART.



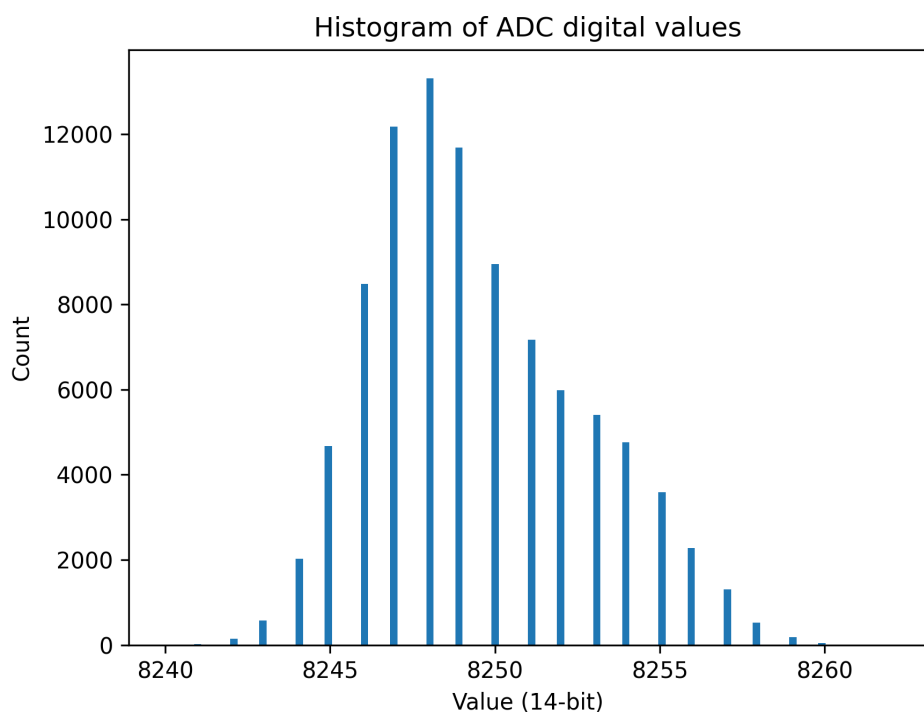
Rysunek 2.1: Rozkład prawdopodobieństwa szumu dla prądu $0 \mu A$ przy zasilaniu z LDO.



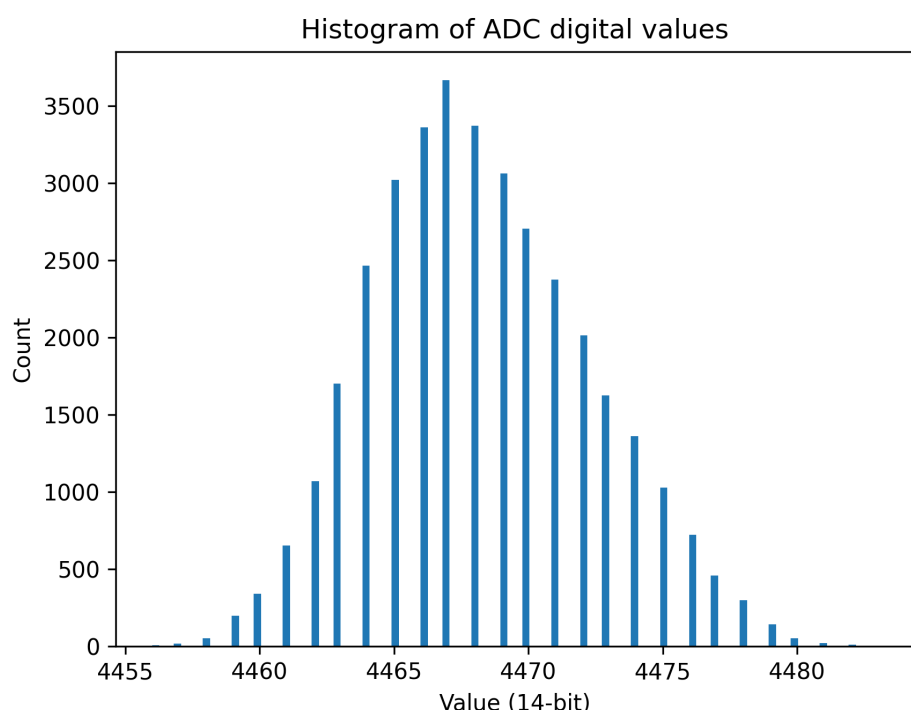
Rysunek 2.2: Rozkład prawdopodobieństwa szumu dla prądu $-75 \mu A$ przy zasilaniu z LDO - odwrócona polaryzacja.



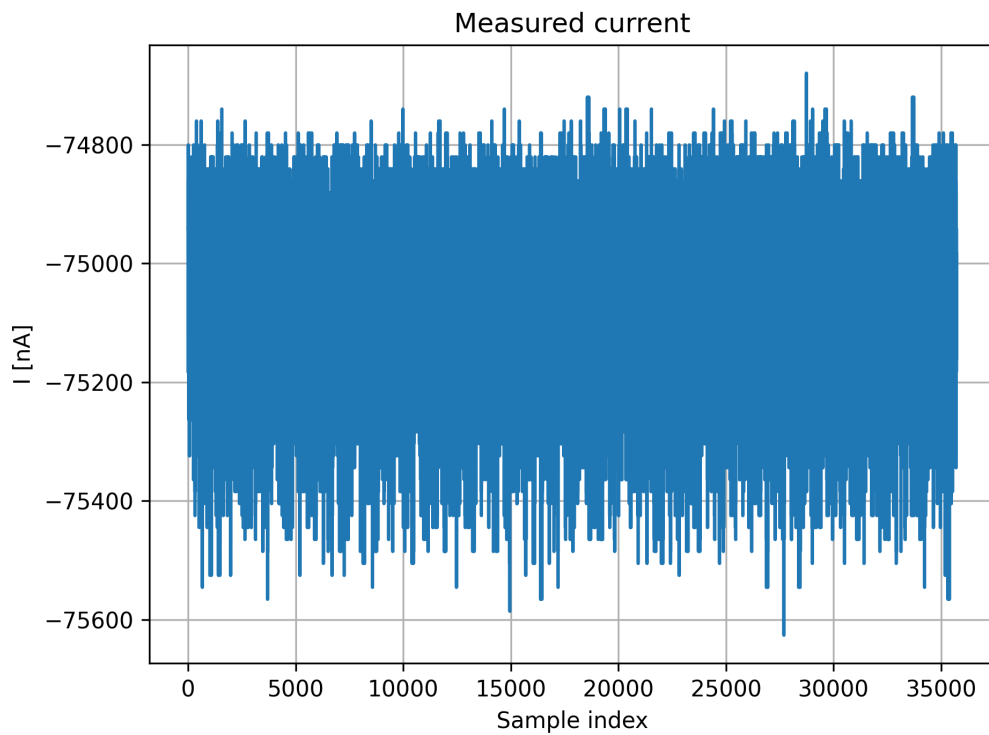
Rysunek 2.3: Rozkład prawdopodobieństwa szumu dla prądu $16 \mu A$ przy zasilaniu z LDO.



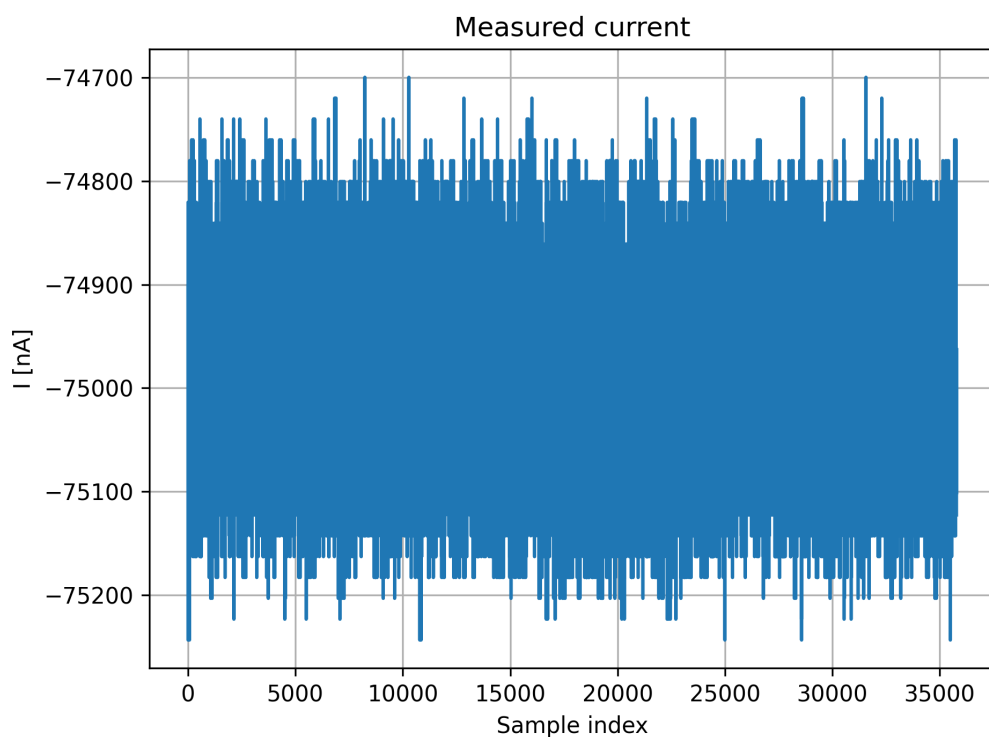
Rysunek 2.4: Rozkład prawdopodobieństwa szumu dla prądu $0 \mu A$ przy zasilaniu z zasilacza laboratoryjnego.



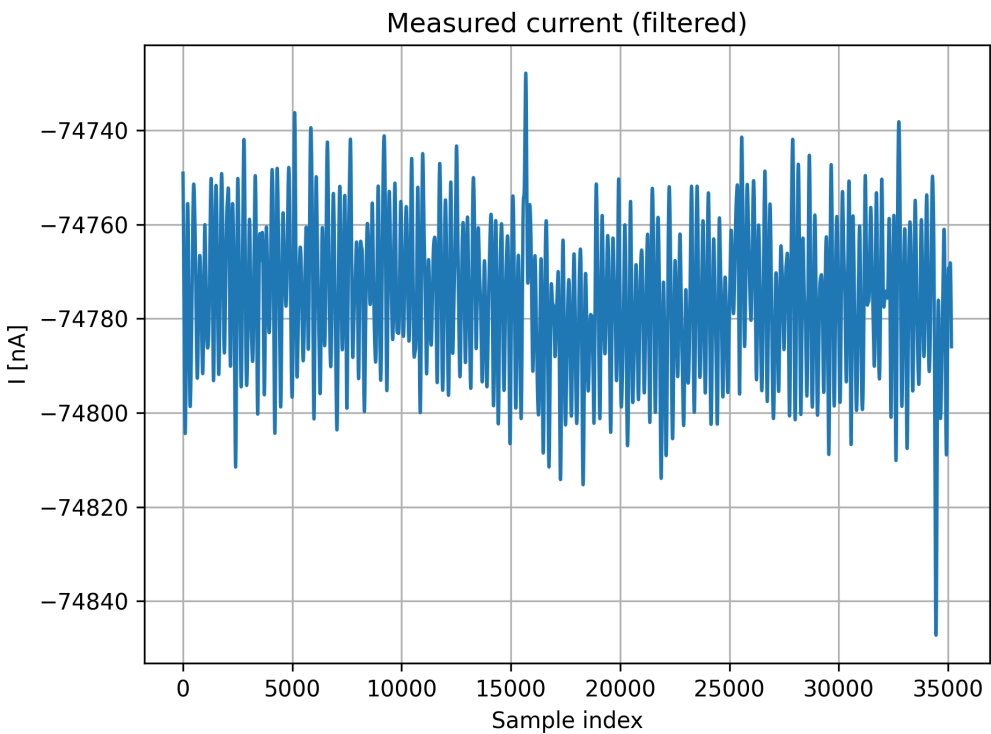
Rysunek 2.5: Rozkład prawdopodobieństwa szumu dla prądu $-75 \mu A$ przy zasilaniu z zasilacza laboratoryjnego.



Rysunek 2.6: Przebieg zmierzonego prądu $-75 \mu A$ przy zasilaniu z LDO - widoczne obcięcie górnych wartości szumu.



Rysunek 2.7: Przebieg zmierzonego prądu $-75 \mu A$ przy zasilaniu z zasilacza.



Rysunek 2.8: Przebieg prądu $-75 \mu A$ po filtracji przy zasilaniu z zasilacza.

3. Podsumowanie

Mimo napotkanych problemów udało się zrealizować pomiar poniżej 1 LSB - dzięki decy-
macji zwiększoano rozdzielcość przetwornika o 2 bity.